

Lagrangian reformulation of Maxwell electrostatics based on a one-parameter extension of the Heisenberg algebra in a six-dimensional phasespace

Saeed Nabipour, Seyed Kamran Moayedi*

Department of Physics, Faculty of Basic Sciences, Arak University, Arak 38156-8-8349, Iran

Received: 27.06.2021 Final revised: 25.12.2022 Accepted: 06.02.2023

Doi link: [10.22055/jrmbs.2023.18126](https://doi.org/10.22055/jrmbs.2023.18126)

Abstract

In a series of papers, Frydryszak and Tkachuk (Czechoslovak Journal of Physics, **53** (2003) 1035-1040; Foundations of Physics, **46** (2016) 1666-1679) introduced a one-parameter extension of the Heisenberg algebra with a deformation parameter β in a six-dimensional phase space. In this paper, after Lagrangian reformulation of Maxwell electrostatics from the viewpoint of the above one-parameter extension of the Heisenberg algebra in a six-dimensional phase space the electrostatic potential and the electric field of a point charge are calculated analytically in this generalized electrostatics (generalized Maxwell electrostatics). We show that in contrast with the conventional Maxwell electrostatics the electrostatic potential and the electric field of a point charge are not singular at the position of the point charge in this generalized electrostatics. We show that in the low-energy limit (large spatial distances), the results of this generalized electrostatics are compatible with the results of the conventional Maxwell electrostatics.

Keywords: Phase space, Heisenberg algebra, Deformation, Maxwell electrostatics, Lagrangian formulation, Point charge

*Corresponding Author: s-moayedi@araku.ac.ir

بازفرمول‌بندی لاگرانژی الکتروستاتیک ماکسول بر اساس یک توسیع تک پارامتری از جبر هایزنبرگ در یک فضای فاز شش بعدی

سعید نبی‌پور، سید کامران مویدی*

گروه فیزیک، دانشکده علوم پایه، دانشگاه اراک، اراک، کد پستی ۳۸۱۵۶-۸-۸۳۴۹، ایران

دریافت: ۱۴۰۰/۰۴/۰۶ ویرایش نهائی: ۱۴۰۱/۱۰/۰۴ پذیرش: ۱۴۰۱/۱۱/۱۷

Doi link: [10.22055/jrmb.2023.18126](https://doi.org/10.22055/jrmb.2023.18126)

چکیده

در یک مجموعه از مقالات (Czechoslovak Journal of Physics, 53 (2003) 1035-1040; Found. Phys, 46 (2016) 1666-1679) فریدریشاک به‌همراه تکاچوک یک توسیع تک پارامتری با پارامتر دگرگونش β را از جبر استاندارد هایزنبرگ در یک فضای فاز شش بعدی ارائه دادند. در این مقاله، ما به بازفرمول‌بندی لاگرانژی نظریه الکتروستاتیک ماکسول در یک فضای فاز شش بعدی از منظر جبر هایزنبرگ تعمیم یافته معرفی شده توسط این نویسندگان می‌پردازیم. بعد از به‌دست آوردن شکل دقیق پتانسیل الکتروستاتیکی و میدان الکتریکی وابسته به یک بار نقطه‌ای ایستا در این الکتروستاتیک تعمیم یافته (الکتروستاتیک ماکسول تعمیم یافته) نشان می‌دهیم که مقدار این عبارت‌ها در مکان قرار گرفتن بار نقطه‌ای برخلاف نظریه ماکسول مقادیری متناهی به‌دست می‌آیند. نشان می‌دهیم که تمامی نتایج به‌دست آمده برای الکتروستاتیک ماکسول تعمیم یافته در حد انرژی‌های پایین (فواصل فضایی بزرگ) با نتایج به‌دست آمده از الکتروستاتیک ماکسول سازگار هستند.

کلیدواژگان: فضای فاز، جبر هایزنبرگ، دگرگونش، الکتروستاتیک ماکسول، فرمول‌بندی لاگرانژی، بار نقطه‌ای

مقدمه

می‌باشد. اگرچه نظریه الکترودینامیک ماکسول در مقیاس ماکروسکوپیکی توصیفی سازگار از برهم‌کنش‌های الکترومغناطیسی ارائه می‌دهد اما در هنگام مطالعه پدیده‌های الکترومغناطیسی در مقیاس‌های طولی بسیار کوچک که اثرات کوآنتومی اهمیت پیدا می‌کنند نظریه ماکسول مبتلا به معضلاتی نظیر پیدایش واگرایی‌های فرابنفش^۲ می‌گردد [۵ و ۴]. از جمله ایرادات وارد دیگر بر نظریه ماکسول آن است که میدان الکتریکی وابسته به یک بار نقطه‌ای q در مکان قرار گرفتن بار تکین است، یعنی:

الکترودینامیک ماکسول یک نظریه میدان کلاسیک است که بر پایه چهار معادله اساسی که در سال ۱۸۶۴ میلادی توسط فیزیک‌دان بریتانیایی جیمز کلارک ماکسول^۱ ارائه گردیدند بنا نهاده شده است. نظریه الکترودینامیک کلاسیک ماکسول قادر به توصیف گستره وسیعی از پدیده‌های الکترومغناطیسی نظیر انتشار نور در محیط‌های ناهمگن که در آن ضریب شکست تابعی از مکان در نظر گرفته می‌شود [۱] و نیز انتشار امواج الکترومغناطیسی در درون موجبرها [۳ و ۲]

*نویسنده مسئول: s-moayedi@araku.ac.ir

¹ James Clerk Maxwell

² Ultraviolet divergences

باز نشر این مقاله با ذکر منبع آزاد است.

این مقاله تحت مجوز کربن‌و کامنز تخصصی ۴.۰ بین‌المللی می‌باشد



توسط فیزیک‌دانان نظری دست‌اندرکار نظریه میدان به‌منظور دست‌یابی به یک نظریه میدان کوانتومی فاقد تکینگی، در سال ۱۹۴۷ میلادی یک فیزیک‌دان آمریکایی به نام اشنايدر^۸ کوشید تا با بازفرمول‌بندی نظریه میدان کوانتومی در یک فضا-زمان چهار بعدی با فرض وجود یک مقیاس طول بنیادین در ساختار فضا-زمان امکان حذف تکینگی‌های به‌وجود آمده در فواصل فضایی بسیار کوچک در نظریه میدان را مورد بررسی قرار دهد [۱۱]. امروزه بازفرمول‌بندی مکانیک کوانتومی و نظریه میدان بر اساس روابط جابه‌جایی تعمیم یافته میان عمل‌گرهای مکان و تکانه به‌صورت گسترده‌ای در کانون توجه فیزیک‌دانان نظری قرار گرفته‌اند [۱۹-۱۲]. در بعضی از این روابط جابه‌جایی تعمیم یافته میان عمل‌گرهای مکان و تکانه وجود یک مقیاس طول بنیادین در اندازه‌گیری بازه‌های فضایی پیش‌بینی می‌گردد که این پیش‌بینی با اغلب مدل‌های گرانش کوانتومی که وجود یک مقیاس طول بنیادی از مرتبه بزرگی طول پلانک، یعنی $\ell_P = \sqrt{\frac{\hbar G}{3}} \approx 1.6 \times 10^{-35} m$ در آن‌ها پیش‌گویی می‌گردد سازگار است. در مرجع [۲۰] نویسندگان نشان داده‌اند که برش‌های فروسرخ و فرابنفش^۹ می‌توانند از دگرگونی سرتاسری دستگاه‌های هامیلتونی توصیف‌کننده یک مدل فیزیکی بر روی خمینه‌های هم‌متافته فشرده^{۱۰} به‌وجود آیند. بنا به آنچه گفته شد برش‌های طبیعی موجود در نظریه گرانش کوانتومی را می‌توان ناشی از خواص سرتاسری (توپولوژیک) خمینه‌های هم‌متافته‌ای دانست که نظریه بر روی آن خمینه‌ها تعریف شده است [۲۰]. در اینجا ما

$$\vec{E}(\vec{x}) = \frac{q}{4\pi\epsilon_0} \frac{\vec{x}}{|\vec{x}|^2} \xrightarrow{|\vec{x}| \rightarrow 0} \infty. \quad 1$$

همچنین در الکترودینامیک ماکسول خود-انرژی^۱ کلاسیک وابسته به یک بار نقطه‌ای مقداری نامتناهی به‌دست می‌آید:

$$U = \frac{q^2}{8\pi\epsilon_0} \int_0^\infty \frac{d|\vec{x}|}{|\vec{x}|^2} \rightarrow \infty. \quad 2$$

وجود این معادلات باعث گردید که در سال ۱۹۳۴ میلادی فیزیک‌دان آلمانی ماکس بورن^۲ همراه با دستیارش لئوپولد اینفلد^۳ تعمیمی غیرخطی از نظریه الکترودینامیک ماکسول ارائه کنند که در آن مقدار خود-انرژی کلاسیک برای بارهای نقطه‌ای برخلاف نظریه ماکسول مقداری متناهی به‌دست می‌آید [۷و۶]. در سال ۱۹۴۰ میلادی فیزیک‌دان آلمانی فریتس باپ^۴ و دو سال بعد در سال ۱۹۴۲ میلادی بوریس پودولسکی^۵ فیزیک‌دان روس تبار ساکن آمریکا با افزودن جمله‌ای شامل مشتق مرتبه دوم میدان پیمانه‌ای A_{μ} به لاگرانژی ماکسول به یک نظریه الکترودینامیک خطی با مشتقات مرتبه بالاتر دست یافتند که در این نظریه همانند نظریه الکترودینامیک غیرخطی بورن-اینفلد مقدار خود-انرژی کلاسیک یک بار نقطه‌ای مقداری متناهی به‌دست می‌آید [۹و۸]. در سال ۱۹۵۰ میلادی آبراهام پاپس^۶ همراه با جورج اولنیک^۷ نشان دادند که می‌توان با افزودن جملات دربرگیرنده مشتقات مراتب بالاتر میدان به لاگرانژی توصیف‌کننده یک مدل فیزیکی همانند آنچه توسط باپ و پودولسکی در مراجع [۹و۸] انجام گردید به یک نظریه میدان کوانتومی عاری از تکینگی دست یافت [۱۰]. هم‌زمان با تلاش‌های صورت گرفته

⁷ George Uhlenbeck

⁸ H.S. Snyder

⁹ IR and UV cutoffs

¹⁰ Compact symplectic manifolds

¹ Self-energy

² Max Born

³ Leopold Infeld

⁴ Fritz Bopp

⁵ Boris Podolsky

⁶ Abraham Pais

یافته در مکان قرار گرفتن بار $(0 \rightarrow |\vec{x}|)$ برخلاف نظریهٔ ماکسول بی‌نهایت نبوده و دارای مقداری متناهی است. با استفاده از پتانسیل الکتروستاتیکی تعمیم یافته مربوط به یک بار نقطه‌ای واقع در مبدأ دستگاه مختصات دکارتی سه بعدی شکل بسته میدان الکتریکی وابسته به یک بار نقطه‌ای q در مبدأ از منظر جبر هایزنبرگ تعمیم یافته به صورت تحلیلی محاسبه می‌گردد. میدان الکتریکی تعمیم یافته مربوط به بار نقطه‌ای همانند میدان الکتریکی وابسته به بار نقطه‌ای در الکتروستاتیک ماکسول دارای تقارن کروی است، با این تفاوت که مقدار میدان الکتریکی تعمیم یافته در نقاط بسیار نزدیک به بار نقطه‌ای $(0 \rightarrow |\vec{x}|)$ برخلاف نظریهٔ ماکسول رفتاری منظم داشته و دارای مقداری متناهی است. در بخش نتیجه‌گیری این مقاله نشان می‌دهیم که تمامی روابط به دست آمده برای الکتروستاتیک ماکسول در چارچوب جبر هایزنبرگ تعمیم یافته در رژیم انرژی‌های پایین که متناظر با فواصل فضایی بزرگ هستند به نتایج مربوط به الکتروستاتیک ماکسول معمولی تبدیل می‌شوند. این مقاله دربرگیرنده دو پیوست الف و ب می‌باشد. در پیوست الف ما به مقایسهٔ میان کارهای انجام شده در این مقاله با کارهای صورت گرفته در مرجع [۱۲] خواهیم پرداخت. پیوست ب به ارائهٔ یک فرمول بندی هموردا از نظریهٔ ماکسول در حضور یک برش تکانه و بررسی تقارن پیمانه‌ای این نظریه در یک فضا-زمان چهار بعدی اختصاص خواهد داشت.

خوانندهٔ علاقه‌مند را برای مطالعهٔ شرح مبسوطی از این دیدگاه هندسی پیرامون مبحث پدیده‌شناسی در گرانش کوآنتومی به مرجع [۲۰] ارجاع می‌دهیم. در فقدان وجود یک نظریهٔ کامل برای گرانش کوآنتومی وجود این برش‌های طبیعی می‌تواند به صورت یک رابطهٔ عدم قطعیت تعمیم یافته میان مکان با تکانهٔ ذره و یا به صورت یک دگرگونی از جبر هایزنبرگ بر روی یک فضای فاز کوآنتومی نمود پیدا کنند [۲۱]. انتظار می‌رود که وجود چنین برش‌های طبیعی در نظریهٔ گرانش کوآنتومی بتواند منجر به برطرف کردن یا حداقل تعدیل بخشی از واگرایی‌های موجود در این نظریه شوند [۱۹-۲۱]. در یک مجموعه از مقالات، فریدریشاک^۱ به همراه تکاچوک^۲ یک توسیع^۳ تک پارامتری از جبر استاندارد هایزنبرگ در یک فضای فاز کوآنتومی شش بعدی ارائه کرده و سپس به بازفرمول‌بندی مکانیک کوآنتومی از منظر این جبر هایزنبرگ تعمیم یافته پرداختند [۱۷ و ۱۸]. در این مقاله ما با در نظر گرفتن نظریهٔ الکتروستاتیک ماکسول به صورت یک نظریهٔ میدان در چارچوب لاگرانژی، به بازفرمول‌بندی نظریهٔ الکتروستاتیک ماکسول در یک فضای دکارتی سه بعدی در چارچوب جبر هایزنبرگ تعمیم یافته می‌پردازیم. نشان می‌دهیم که معادلهٔ پواسون^۴ وابسته به یک پیکربندی ایستا از بارهای الکتریکی در این مدل تعمیم یافته از الکتروستاتیک ماکسول یک معادلهٔ دیفرانسیل خطی با مشتقات جزئی از مرتبهٔ بی‌نهایت می‌باشد. در ادامهٔ شکل دقیق پتانسیل الکتروستاتیکی وابسته به یک بار نقطه‌ای q که در مبدأ دستگاه مختصات دکارتی سه بعدی قرار دارد از منظر جبر هایزنبرگ تعمیم یافته به دست آمده و نشان داده می‌شود که مقدار این پتانسیل الکتروستاتیکی تعمیم

³Extension
⁴Poisson

¹Frydryszak
²Tkachuk

تک‌چوک نشان داده است که عمل‌گرهای مکان X^i و تکانه P^i در جبر هایزنبرگ تعمیم یافته، یعنی روابط جابه‌جایی ۶ تا ۸ دارای نمایش مختصاتی دقیقی به صورت زیر می‌باشند

$$X^i = x^i, \quad 9$$

$$P^i = \frac{1}{\sqrt{1-\beta p^2}} p^i, \quad \forall i \in \{1,2,3\}, \quad 10$$

که $p = \sqrt{\sum_{i=1}^3 (p^i)^2}$ طول بردار تکانه در فضای فاز معمولی (x^i, p^i) است. برای حقیقی بودن P^i در رابطه ۱۰ لازم است تا شرط زیر برقرار باشد:

$$p < \frac{1}{\sqrt{\beta}}. \quad 11$$

بنا به رابطه ۱۰ ارتباط میان P (طول بردار تکانه در فضای فاز دگرگون شده) با p (طول بردار تکانه در فضای فاز غیر دگرگون شده) به شکل زیر است:

$$P = \frac{1}{\sqrt{1-\beta p^2}} p. \quad 12$$

رابطه ۱۲ به وضوح نشان می‌دهد که بازه $\left[0, \frac{1}{\sqrt{\beta}}\right)$ برای p متناظر با بازه $[0, +\infty)$ برای P می‌باشد. بنابراین در جبر هایزنبرگ تعمیم یافته p دارای مقدار بیشینه‌ای برابر با:

$$p_{\max} = \frac{1}{\sqrt{\beta}}, \quad 13$$

است. رابطه ۱۳ به معنای وجود یک برش تکانه^۱ بر روی p طول بردار تکانه در فضای فاز (x^i, p^i) است. رابطه ۱۰ نشان می‌دهد در جبر هایزنبرگ تعمیم یافته یک مقیاس طول مشخصه^۲ به صورت:

$$(\Delta x)_0 := \hbar \sqrt{\beta}, \quad 14$$

توسیع تک پارامتری جبر هایزنبرگ در یک فضای فاز کوآنتومی شش بعدی

اگر $x^i = (x^1, x^2, x^3)$ مؤلفه‌های عمل‌گر مکان و $p^i = (p^1, p^2, p^3)$ مؤلفه‌های عمل‌گر تکانه در یک فضای فاز کوآنتومی شش بعدی متعارف باشند خواهیم داشت:

$$[x^i, x^j] = 0, \quad 3$$

$$[p^i, p^j] = 0, \quad 4$$

$$[x^i, p^j] = i \hbar \delta^{ij}, \quad \forall i, j \in \{1,2,3\}. \quad 5$$

روابط ۳ تا ۵ تعریف کننده جبر هایزنبرگ در یک فضای دکارتی سه بعدی (فضای فاز شش بعدی) می‌باشند. در یک مجموعه از مقالات، فریدریشاک به همراه تکاچوک یک توسیع تک پارامتری از جبر هایزنبرگ در یک فضای فاز کوآنتومی شش بعدی دگرگون شده ارائه کردند [۱۷ و ۱۸]. این جبر هایزنبرگ دگرگون شده که ما آن را جبر هایزنبرگ تعمیم یافته می‌نامیم توسط روابط جابه‌جایی تعمیم یافته زیر معرفی می‌گردند [۱۸]:

$$[X^i, X^j] = 0, \quad 6$$

$$[P^i, P^j] = 0, \quad 7$$

$$[X^i, P^j] = i \hbar \sqrt{1+\beta P^2} (\delta^{ij} + \beta P^i P^j), \quad 8$$

$$\forall i, j \in \{1,2,3\},$$

که $x^i = (x^1, x^2, x^3)$ و $p^i = (p^1, p^2, p^3)$ به ترتیب مؤلفه‌های عمل‌گر مکان و تکانه در فضای فاز کوآنتومی شش بعدی دگرگون شده بوده و $P = \sqrt{\sum_{i=1}^3 (P^i)^2}$ طول بردار تکانه در این فضا است. همچنین β یک پارامتر ثابت نامنفی با دیمانسیون $[momentum]^{-2}$ است [۱۸]. در مرجع [۱۸]

² Characteristic length scale

¹ Momentum cutoff

معادله اویلر-لاگرانژ وابسته به پتانسیل الکتروستاتیکی $\phi(\vec{x})$ به شکل زیر است:

$$\frac{\partial \mathcal{L}}{\partial \phi} - \partial_j \left(\frac{\partial \mathcal{L}}{\partial (\partial_j \phi)} \right) = 0. \quad 18$$

اگر چگالی لاگرانژی ۱۷ را در رابطه ۱۸ قرار دهیم معادله میدان زیر برای پتانسیل الکتروستاتیکی $\phi(\vec{x})$ به دست می‌آید:

$$\nabla^2 \phi(\vec{x}) = -\frac{\rho(\vec{x})}{\epsilon_0}. \quad 19$$

معادله ۱۹ همان معادله پواسون در الکتروستاتیک ماکسول می‌باشد. معادله پواسون ۱۹ با دو معادله زیر هم‌ارز است:

$$\nabla \cdot \vec{E}(\vec{x}) = \frac{\rho(\vec{x})}{\epsilon_0}, \quad 20$$

$$\nabla \times \vec{E}(\vec{x}) = 0, \quad 21$$

که $\vec{E}(\vec{x}) = -\nabla \phi(\vec{x})$ میدان الکتروستاتیکی است. تحت اثر تبدیل مختصاتی به شکل رابطه ۱۵ پتانسیل الکتروستاتیکی $\phi(\vec{x})$ و چگالی بار الکتریکی $\rho(\vec{x})$ به صورت زیر تبدیل پیدا می‌کنند:

$$\phi(\vec{x}) \rightarrow \Phi(\vec{X}) = \phi(\vec{x}), \quad 22$$

$$\rho(\vec{x}) \rightarrow \rho(\vec{X}) = \rho(\vec{x}). \quad 23$$

با توجه به روابط ۱۶، ۱۷، ۲۲ و ۲۳ چگالی لاگرانژی وابسته به الکتروستاتیک ماکسول در چارچوب جبر هایزنبرگ تعمیم یافته (روابط ۶ تا ۸) به شکل زیر در می‌آید:

وجود دارد که در حد $(\Delta x)_0 \rightarrow 0$ جبر هایزنبرگ تعمیم یافته به جبر استاندارد هایزنبرگ (روابط ۳ تا ۵) تبدیل می‌شود. بنا به روابط ۹ و ۱۰ در هنگام بازفرمول‌بندی یک نظریه میدان از منظر جبر هایزنبرگ تعمیم یافته لازم است تا عمل‌گرهای مکان و مشتق استاندارد، یعنی (x^i, ∂_i) بر طبق دستورالعمل زیر با عمل‌گرهای مکان و مشتق تعمیم یافته (X^i, D_i) جایگزین شوند:

$$x^i \rightarrow X^i = x^i, \quad 15$$

$$\partial_i \rightarrow D_i := \frac{1}{\sqrt{1 + (\Delta x)_0^2 \nabla^2}} \partial_i, \quad 16$$

$$\forall i \in \{1, 2, 3\},$$

که $\nabla^2 = \sum_{i=1}^3 \partial_i \partial_i$ عمل‌گر لاپلاس در فضای دکارتی سه بعدی است. همان‌گونه که مشاهده می‌شود در حد $(\Delta x)_0 \rightarrow 0$ مشتق تعمیم یافته D_i در رابطه ۱۶ به مشتق معمولی ∂_i تبدیل می‌شود.

بازفرمول‌بندی الکتروستاتیک ماکسول در حضور یک چشمه خارجی از منظر جبر هایزنبرگ تعمیم یافته

در این بخش فرمول‌بندی لاگرانژی الکتروستاتیک ماکسول در حضور یک چشمه خارجی را در یک فضای دکارتی سه بعدی از دیدگاه جبر هایزنبرگ تعمیم یافته مورد مطالعه قرار می‌دهیم. چگالی لاگرانژی برای پتانسیل الکتروستاتیکی $\phi(\vec{x})$ در حضور چشمه خارجی $\rho(\vec{x})$ در یک فضای دکارتی سه بعدی به صورت زیر است [۱۲]:

$$\mathcal{L}(\phi, \partial_i \phi) = \frac{1}{2} \epsilon_0 (\partial_i \phi)(\partial_i \phi) - \rho \phi. \quad 17$$

$$\mathcal{L} = \frac{1}{2}\varepsilon_0 (\partial_i \phi)(\partial_i \phi) + \frac{1}{2}\varepsilon_0 (\Delta x)_0^2 (\partial_i \partial_j \phi)(\partial_i \partial_j \phi) + \frac{1}{2}\varepsilon_0 (\Delta x)_0^4 (\partial_i \nabla^2 \phi)(\partial_i \nabla^2 \phi) - \rho\phi + O((\Delta x)_0^6). \quad 27$$

اکنون معادله حرکت وابسته به چگالی لاگرانژی ۲۷ را به دست می‌آوریم. در مرجع [۲۲] مولر^۲ و زوئباخ^۳ نشان داده‌اند که اگر چگالی لاگرانژی توصیف کننده میدان ϕ دارای شکل کلی زیر باشد:

$$\mathcal{L} = \mathcal{L}(\phi, \partial_{i_1} \phi, \partial_{i_1} \partial_{i_2} \phi, \partial_{i_1} \partial_{i_2} \partial_{i_3} \phi, \dots), \quad 28$$

معادله اوایلر-لاگرانژ وابسته به میدان ϕ چنین خواهد شد:

$$\frac{\partial \mathcal{L}}{\partial \phi} - \left(\frac{\partial \mathcal{L}}{\partial \phi_{i_1}} \right)_{i_1} + \left(\frac{\partial \mathcal{L}}{\partial \phi_{i_1 i_2}} \right)_{i_1 i_2} - \dots + (-1)^k \left(\frac{\partial \mathcal{L}}{\partial \phi_{i_1 i_2 \dots i_k}} \right)_{i_1 i_2 \dots i_k} + \dots = 0, \quad 29$$

$$\phi_{i_1 i_2 \dots i_k} := \partial_{i_1} \partial_{i_2} \dots \partial_{i_k} \phi, \quad 30$$

$$\frac{\partial \phi_{i_1 i_2 \dots i_k}}{\partial \phi_{j_1 j_2 \dots j_k}} = \delta_{i_1}^{j_1} \delta_{i_2}^{j_2} \dots \delta_{i_k}^{j_k}. \quad 31$$

چگالی لاگرانژی ۲۷ با استفاده از تعریف ۳۰ به شکل زیر قابل بازنویسی است:

$$\mathcal{L} = \frac{1}{2}\varepsilon_0 \phi_i \phi_i + \frac{1}{2}\varepsilon_0 (\Delta x)_0^2 \phi_{i j} \phi_{i j} + \frac{1}{2}\varepsilon_0 (\Delta x)_0^4 \phi_{i j j} \phi_{i k k} - \rho\phi + O((\Delta x)_0^6). \quad 32$$

اگر چگالی لاگرانژی ۳۲ را در معادله ۲۹ قرار دهیم معادله میدان زیر که یک معادله پواسون با مشتق از مرتبه

$$\mathcal{L}(\Phi, D_i \Phi) = \frac{1}{2}\varepsilon_0 (D_i \Phi(\bar{x}))(D_i \Phi(\bar{x})) - \rho(\bar{x})\Phi(\bar{x}) = \frac{1}{2}\varepsilon_0 \left(\frac{1}{\sqrt{1+(\Delta x)_0^2 \nabla^2}} \partial_i \phi(\bar{x}) \right) \left(\frac{1}{\sqrt{1+(\Delta x)_0^2 \nabla^2}} \partial_i \phi(\bar{x}) \right) - \rho(\bar{x})\phi(\bar{x}). \quad 24$$

با اندکی محاسبه می‌توان نشان داد که رابطه ۲۴ را می‌توان چنین نوشت:

$$\mathcal{L} = \underbrace{\frac{1}{2}\varepsilon_0 (\partial_i \phi)(\partial_i \phi) - \rho\phi}_{\text{ordinary Maxwell electrostatics}} + \frac{1}{2}\varepsilon_0 (\Delta x)_0^2 (\partial_i \partial_j \phi)(\partial_i \partial_j \phi) + \frac{1}{2}\varepsilon_0 (\Delta x)_0^4 (\partial_i \nabla^2 \phi)(\partial_i \nabla^2 \phi) + \frac{1}{2}\varepsilon_0 \partial_j \Upsilon_j + O((\Delta x)_0^6), \quad 25$$

$$\Upsilon_j := -(\Delta x)_0^2 (\partial_i \phi)(\partial_i \partial_j \phi) + \frac{3}{4}(\Delta x)_0^4 [(\partial_i \phi)(\partial_j \nabla^2 \partial_i \phi) - (\partial_i \partial_j \phi)(\partial_i \nabla^2 \phi)]. \quad 26$$

همان‌گونه که رابطه ۲۵ نشان می‌دهد الکتروستاتیک ماکسول بازفرمول‌بندی شده از منظر جبر هایزنبرگ تعمیم یافته یک نظریه میدان با مشتق از مرتبه بی نهایت است که در ناحیه انرژی‌های پایین $(\Delta x)_0 \rightarrow 0$ همان نظریه الکتروستاتیک ماکسول معمولی در یک فضای دکارتی سه بعدی را باز تولید می‌کند. از سوی دیگر جمله $\frac{1}{2}\varepsilon_0 \partial_j \Upsilon_j$ در رابطه ۲۵ یک جمله مشتق کامل^۱ بوده و تأثیری در معادلات حرکت ندارد از این رو چگالی لاگرانژی معرفی شده در رابطه ۲۵ را می‌توان به شکل مؤثر زیر بازنویسی کرد:

³Zwiebach

¹Total derivative

²Moeller

$$\frac{\nabla^2}{1+(\Delta x)_0^2 \nabla^2} \phi(\vec{x}) = -\frac{q}{\epsilon_0} \delta^{(3)}(\vec{x}). \quad ۳۷$$

برای حل معادله ۳۷ از روش تبدیل فوریه بهره می‌جویم. تابع دلتای دیراک در فضای سه بعدی در حضور برش تکانه ۱۳ دارای نمایش انتگرالی به صورت زیر است:

$$\delta^{(3)}(\vec{x}) = \frac{1}{(2\pi)^3} \int_{k \leq \frac{1}{(\Delta x)_0}} d^3 k e^{i\vec{k} \cdot \vec{x}}. \quad ۳۸$$

لازم به تذکر است که با توجه به رابطه میان بردار تکانه \vec{p} و بردار موج \vec{k} در فضای فاز (x^i, p^i) ، یعنی رابطه $\vec{p} = \hbar \vec{k}$ شرط ۱۳ به نامساوی $k \leq \frac{1}{(\Delta x)_0}$

$$\left(k = \sqrt{\sum_{i=1}^3 (k^i)^2} \right) \text{ منجر می‌شود.}$$

همچنین پتانسیل الکتروستاتیکی $\phi(\vec{x})$ در معادله ۳۷ دارای نمایش فوریه‌ای به شکل زیر است:

$$\phi(\vec{x}) = \frac{1}{(2\pi)^3} \int_{k \leq \frac{1}{(\Delta x)_0}} d^3 k e^{i\vec{k} \cdot \vec{x}} G(\vec{k}). \quad ۳۹$$

اثر عمل گر $\frac{\nabla^2}{1+(\Delta x)_0^2 \nabla^2}$ بر روی پتانسیل

الکتروستاتیکی $\phi(\vec{x})$ در معادله ۳۹ به شکل زیر است:

$$\frac{\nabla^2}{1+(\Delta x)_0^2 \nabla^2} \phi(\vec{x}) = \frac{1}{(2\pi)^3} \int_{k \leq \frac{1}{(\Delta x)_0}} d^3 k \frac{k^2}{1-(\Delta x)_0^2 k^2} e^{i\vec{k} \cdot \vec{x}} G(\vec{k}). \quad ۴۰$$

با توجه به روابط ۳۷، ۳۸ و ۴۰ شکل تابع $G(\vec{k})$ در معادله ۳۹ خواهد شد:

بی‌نهایت است حاصل می‌گردد:

$$\underbrace{\nabla^2 \phi(\vec{x}) - (\Delta x)_0^2 \nabla^2 \nabla^2 \phi(\vec{x}) + (\Delta x)_0^4 \nabla^2 \nabla^2 \nabla^2 \phi(\vec{x}) + O((\Delta x)_0^6)}_{\text{high-energy (short-distance) corrections}} = -\frac{\rho(\vec{x})}{\epsilon_0}. \quad ۳۳$$

در حد $(\Delta x)_0 \rightarrow 0$ معادله ۳۳ به همان معادله آشنای پواسون در الکتروستاتیک ماکسول استاندارد، یعنی معادله ۱۹ تبدیل می‌شود. معادله ۳۳ را می‌توان به شکل زیر بازنویسی کرد:

$$\left[1 - ((\Delta x)_0^2 \nabla^2) + ((\Delta x)_0^2 \nabla^2)^2 - \dots \right] \nabla^2 \phi(\vec{x}) = -\frac{\rho(\vec{x})}{\epsilon_0}. \quad ۳۴$$

عبارت داخل کروشه در سمت چپ معادله ۳۴ به عبارت $\frac{1}{1+(\Delta x)_0^2 \nabla^2}$ همگرا بوده از این رو شکل بسته معادله پواسون با مشتق از مرتبه بی‌نهایت را می‌توان چنین نوشت:

$$\frac{\nabla^2}{1+(\Delta x)_0^2 \nabla^2} \phi(\vec{x}) = -\frac{\rho(\vec{x})}{\epsilon_0}. \quad ۳۵$$

حل دقیق معادله پواسون با مشتق از مرتبه بی‌نهایت برای یک بار نقطه‌ای ایستا

چگالی بار الکتریکی وابسته به یک بار نقطه‌ای q در مبدأ دستگاه مختصات دکارتی سه بعدی به شکل زیر است:

$$\begin{aligned} \rho(\vec{x}) &= q \delta(x^1) \delta(x^2) \delta(x^3) \\ &= q \delta^{(3)}(\vec{x}). \end{aligned} \quad ۳۶$$

معادله پواسون با مشتق از مرتبه بی‌نهایت ۳۵ برای چگالی بار الکتریکی معرفی شده در رابطه ۳۶ به شکل زیر است:

که $Si(x) = \int_0^x \frac{\sin u}{u} du$ انتگرال سینوسی^۱ است [۲۳]. رابطه ۴۴ شکل تحلیلی پتانسیل الکتروستاتیکی مربوط به یک بار نقطه‌ای ایستا در فضای دکارتی سه بعدی از منظر جبر هایزنبرگ تعمیم یافته بوده و کماکان دارای تقارن کروی است. اکنون به بررسی رفتار پتانسیل الکتروستاتیکی مربوط به یک بار نقطه‌ای ایستا در فضای دکارتی سه بعدی از منظر جبر هایزنبرگ تعمیم یافته به‌زای $(\Delta x)_0 \rightarrow 0$ (ناحیه انرژی‌های پایین) می‌پردازیم. با توجه به رفتار مجانبی انتگرال سینوسی

$$Si(x) \sim \frac{\pi}{2} - \frac{\sin x}{x} \left(\frac{1}{x} - \frac{3!}{x^3} + \frac{5!}{x^5} - \dots \right) - \frac{\cos x}{x} \left(1 - \frac{2!}{x^2} + \frac{4!}{x^4} - \dots \right), \quad (45)$$

رابطه ۴۴ را می‌توان چنین نوشت:

$$\begin{aligned} \phi(\vec{x}) &= \frac{q}{2\pi^2 \epsilon_0 r} \\ &= \frac{q}{4\pi \epsilon_0 r} \left[\frac{\pi}{2} - \frac{\sin\left(\frac{r}{(\Delta x)_0}\right)}{\left(\frac{r}{(\Delta x)_0}\right)} \left(\frac{1}{\frac{r}{(\Delta x)_0}} - \dots \right) - \frac{\cos\left(\frac{r}{(\Delta x)_0}\right)}{\left(\frac{r}{(\Delta x)_0}\right)} \left(1 - \dots \right) \right. \\ &\quad \left. + \frac{(\Delta x)_0}{r} \cos\left(\frac{r}{(\Delta x)_0}\right) - \frac{(\Delta x)_0^2}{r^2} \sin\left(\frac{r}{(\Delta x)_0}\right) \right] \\ &= \frac{q}{4\pi \epsilon_0 r} \left[1 - \frac{4}{\pi} \frac{(\Delta x)_0^2}{r^2} \sin\left(\frac{r}{(\Delta x)_0}\right) + \dots \right] \\ &\sim \frac{q}{4\pi \epsilon_0 r}. \end{aligned} \quad (46)$$

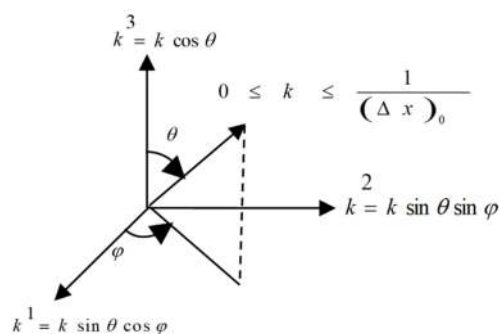
رابطه ۴۶ به‌وضوح نشان می‌دهد که در حد $(\Delta x)_0 \rightarrow 0$ نتایج حاصل از الکتروستاتیک ماکسول تعمیم یافته به نتایج حاصل از الکتروستاتیک استاندارد ماکسول تبدیل می‌شوند. از سوی دیگر می‌دانیم که

$$G(\vec{k}) = \frac{q}{\epsilon_0} \left(\frac{1}{k^2} - (\Delta x)_0^2 \right). \quad (41)$$

پس از قرار دادن رابطه ۴۱ در رابطه ۳۹ خواهیم داشت:

$$\begin{aligned} \phi(\vec{x}) &= \frac{q}{\epsilon_0} \frac{1}{(2\pi)^3} \\ &\int_{k \leq \frac{1}{(\Delta x)_0}} d^3k \left(\frac{1}{k^2} - (\Delta x)_0^2 \right) e^{i\vec{k} \cdot \vec{x}}. \end{aligned} \quad (42)$$

با توجه به شکل ۱ پتانسیل الکتروستاتیکی $\phi(\vec{x})$ در رابطه ۴۲ را می‌توان چنین نوشت:



شکل ۱. مختصات قطبی کروی (k, θ, φ) برای محاسبه انتگرال ۴۲.

$$\begin{aligned} \phi(\vec{x}) &= \frac{q}{\epsilon_0} \frac{1}{(2\pi)^3} \int_0^{2\pi} d\varphi \\ &\int_0^{\frac{1}{(\Delta x)_0}} \left(1 - (\Delta x)_0^2 k^2 \right) dk \\ &\int_0^\pi e^{i k r \cos \theta} \sin \theta d\theta. \end{aligned} \quad (43)$$

لازم به‌تذکر است که در نوشتن رابطه ۴۳ فرض کرده‌ایم که بردار مکان \vec{x} در راستای محور k^3 باشد، می‌توان نوشت:

$$\begin{aligned} \phi(\vec{x}) &= \\ &\frac{q}{2\pi^2 \epsilon_0 r} \left[\int_0^{\frac{1}{(\Delta x)_0}} \frac{\sin kr}{k} dk - (\Delta x)_0^2 \int_0^{\frac{1}{(\Delta x)_0}} k \sin kr dk \right] \\ &= \frac{q}{2\pi^2 \epsilon_0 r} \left[Si\left(\frac{r}{(\Delta x)_0}\right) + \frac{(\Delta x)_0}{r} \cos\left(\frac{r}{(\Delta x)_0}\right) - \frac{(\Delta x)_0^2}{r^2} \sin\left(\frac{r}{(\Delta x)_0}\right) \right], \end{aligned} \quad (44)$$

¹ Sine integral

قرار گرفتن بار نقطه‌ای در الکتروستاتیک ماکسول تعمیم یافته برخلاف الکتروستاتیک ماکسول مقداری متناهی به دست می‌آید. در واقع وجود مقیاس طول مشخصه $(\Delta x)_0$ مانع از بی‌نهایت شدن پتانسیل بار نقطه‌ای q در فواصل فضایی بسیار نزدیک به بار نقطه‌ای q می‌گردد.

محاسبه شکل دقیق میدان الکتریکی وابسته به یک بار نقطه‌ای ایستا در الکتروستاتیک ماکسول تعمیم یافته

مؤلفه‌های میدان الکتریکی در فضای فاز شش بعدی (x^i, p^i) برای یک پیکربندی الکتروستاتیک توسط رابطه زیر به دست می‌آیند:

$$\vec{E}(\vec{x}) = -\nabla\phi(\vec{x}). \quad 51$$

لازم به تذکر است که مقدار بیشینه طول بردار تکانه در فضای فاز شش بعدی (x^i, p^i) بنا به رابطه ۱۳ برابر

$$p_{\max} = \frac{1}{\sqrt{\beta}}$$

۵۱ شکل صریح میدان الکتریکی ایستای وابسته به یک بار نقطه‌ای q از منظر جبر هایزنبرگ تعمیم یافته را در یک فضای دکارتی سه بعدی محاسبه می‌کنیم، داریم:

$$\begin{aligned} \vec{E}(\vec{x}) &= -\hat{e}_r \frac{\partial\phi(\vec{x})}{\partial r} \\ &= -\hat{e}_r \frac{d}{dr} \frac{q}{2\pi^2 \varepsilon_0 r} \left[Si\left(\frac{r}{(\Delta x)_0}\right) + \frac{(\Delta x)_0}{r} \cos\left(\frac{r}{(\Delta x)_0}\right) - \frac{(\Delta x)_0^2}{r^2} \sin\left(\frac{r}{(\Delta x)_0}\right) \right] \\ &= \hat{e}_r \frac{q}{2\pi^2 \varepsilon_0 r^2} \left[Si\left(\frac{r}{(\Delta x)_0}\right) - 3j_1\left(\frac{r}{(\Delta x)_0}\right) \right], \end{aligned}$$

۵۲

پتانسیل الکتروستاتیکی وابسته به یک بار نقطه‌ای q در مکان قرار گرفتن بار نقطه‌ای $(x^1 = x^2 = x^3 = 0)$ در نظریه ماکسول برابر بی‌نهایت است، یعنی:

$$\lim_{r \rightarrow 0} \phi(\vec{x}) = \lim_{r \rightarrow 0} \frac{q}{4\pi\varepsilon_0 r} \rightarrow \infty. \quad 47$$

حال اجازه دهید تا به بررسی رفتار پتانسیل الکتروستاتیکی وابسته به یک بار نقطه‌ای ایستای q در مکان قرار گرفتن بار از منظر جبر هایزنبرگ تعمیم یافته بپردازیم. برای این منظور لازم است تا از رابطه زیر استفاده کنیم [۲۳]:

$$Si(x) = x - \frac{x^3}{18} + \dots, \quad x \ll 1. \quad 48$$

بنا به رابطه ۴۸ تابع $\phi(\vec{x})$ در رابطه ۴۴ برای مقادیر $|\vec{x}| = r \rightarrow 0$ رفتاری به شکل زیر خواهد داشت:

$$\begin{aligned} \phi(\vec{x}) &= \frac{q}{2\pi^2 \varepsilon_0 r} \left[\frac{r}{(\Delta x)_0} - \frac{1}{18} \frac{r^3}{(\Delta x)_0^3} + \dots + \frac{(\Delta x)_0}{r} \left(1 - \frac{1}{2} \frac{r^2}{(\Delta x)_0^2} + \frac{1}{24} \frac{r^4}{(\Delta x)_0^4} - \dots \right) - \frac{(\Delta x)_0^2}{r^2} \left(\frac{r}{(\Delta x)_0} - \frac{1}{6} \frac{r^3}{(\Delta x)_0^3} + \frac{1}{120} \frac{r^5}{(\Delta x)_0^5} - \dots \right) \right] \\ &= \frac{q}{3\pi^2 \varepsilon_0 (\Delta x)_0} \left[1 - \frac{1}{30} \frac{r^2}{(\Delta x)_0^2} + \dots \right]. \end{aligned} \quad 49$$

با توجه به رابطه ۴۹ می‌توان نوشت:

$$\begin{aligned} \phi(0,0,0) &= \lim_{r \rightarrow 0} \frac{q}{3\pi^2 \varepsilon_0 (\Delta x)_0} \left[1 - \frac{1}{30} \frac{r^2}{(\Delta x)_0^2} + \dots \right] \\ &= \frac{q}{3\pi^2 \varepsilon_0 (\Delta x)_0}. \end{aligned}$$

۵۰

همان‌گونه که دیده می‌شود مقدار پتانسیل الکتروستاتیکی وابسته به یک بار نقطه‌ای q در مکان

$$\vec{E}(\vec{x}) = \hat{e}_r \frac{q}{2\pi^2 \epsilon_0 r^2} \left[\frac{r}{(\Delta x)_0} - \frac{1}{18} \left(\frac{r}{(\Delta x)_0} \right)^3 + \dots - 3 \left(\frac{1}{3} \frac{r}{(\Delta x)_0} - \frac{1}{30} \left(\frac{r}{(\Delta x)_0} \right)^3 + \dots \right) \right] - \hat{e}_r \frac{q}{45\pi^2 \epsilon_0 (\Delta x)_0^3} r. \quad (54)$$

بنا به رابطه ۵۴ در نقاط بسیار نزدیک به بار نقطه‌ای q ، یعنی $r \rightarrow 0$ میدان الکتریکی در نظریه ماکسول تعمیم یافته برخلاف نظریه ماکسول رفتاری منظم داشته و دارای مقداری متناهی است.

بحث و نتیجه‌گیری

در این مقاله نشان دادیم که بازفرمول‌بندی نظریه الکتروستاتیک ماکسول بر اساس یک توسیع تک پارامتری از جبر استاندارد هایزنبرگ در یک فضای فاز شش بعدی بر مبنای مراجع [۱۷ و ۱۸] به یک معادله پواسون تعمیم یافته به شکل

$$\nabla^2 \phi(\vec{x}) = -\frac{\rho(\vec{x})}{\epsilon_0} \quad \text{برای توزیع بار}$$

ایستای $\rho(\vec{x})$ می‌انجامد. در ادامه شکل دقیق پتانسیل الکتروستاتیکی $\phi(\vec{x})$ و میدان الکتریکی $\vec{E}(\vec{x})$ مربوط به یک بار نقطه‌ای q واقع در مبدا دستگاه مختصات دکارتی سه بعدی را از طریق حل معادله پواسون با مشتق از مرتبه بی‌نهایت ۳۵ با روش تبدیل فوریه به دست آوردیم و نشان دادیم که مقدار $\phi(\vec{x})$ و $\vec{E}(\vec{x})$ برای نقاط بسیار نزدیک به بار نقطه‌ای ($|\vec{x}| = r \rightarrow 0$) بر خلاف نظریه ماکسول مقادیری متناهی به دست می‌آیند (روابط ۵۰ و ۵۴).

به منظور دستیابی به درک عمیق‌تری از مطالب گفته شده اجازه دهید تا با تعریف پارامترهای Q و R به صورت زیر:

$$Q := \frac{q}{4\pi\epsilon_0 (\Delta x)_0} = \frac{q}{4\pi\epsilon_0 \hbar \sqrt{\beta}}, \quad (55)$$

که \hat{e}_r بردار واحد شعاعی بوده و $j_1(x) = \frac{\sin x}{x^2} - \frac{\cos x}{x}$ تابع کروی بسل است [۲۳]. اکنون به بررسی رفتار میدان الکتریکی $\vec{E}(\vec{x})$ در رابطه ۵۴ به ازای $(\Delta x)_0 \rightarrow 0$ می‌پردازیم. برای این منظور لازم است تا از شکل مجانبی انتگرال سینوسی در رابطه ۴۵ استفاده کنیم، خواهیم داشت:

$$\vec{E}(\vec{x}) = \hat{e}_r \frac{q}{2\pi^2 \epsilon_0 r^2} \left[\frac{\pi}{2} \frac{\sin\left(\frac{r}{(\Delta x)_0}\right)}{\left(\frac{r}{(\Delta x)_0}\right)} \left(\frac{r}{(\Delta x)_0} - \dots \right) - \frac{\cos\left(\frac{r}{(\Delta x)_0}\right)}{\left(\frac{r}{(\Delta x)_0}\right)} \right] - 3 \left(\frac{\sin\left(\frac{r}{(\Delta x)_0}\right)}{\left(\frac{r}{(\Delta x)_0}\right)^2} - \frac{\cos\left(\frac{r}{(\Delta x)_0}\right)}{\left(\frac{r}{(\Delta x)_0}\right)} \right) \right] = \hat{e}_r \frac{q}{4\pi\epsilon_0 r^2} \left[1 + \frac{4}{\pi} \frac{(\Delta x)_0}{r} \left(\cos\left(\frac{r}{(\Delta x)_0}\right) - 2 \frac{(\Delta x)_0}{r} \sin\left(\frac{r}{(\Delta x)_0}\right) \right) + \dots \right] - \hat{e}_r \frac{q}{4\pi\epsilon_0 r^2}. \quad (53)$$

رابطه ۵۳ نشان می‌دهد که در حد $(\Delta x)_0 \rightarrow 0$ میدان الکتریکی وابسته به یک بار نقطه‌ای q در فضای فاز شش بعدی (x^i, p^i) به ازای

$$p_{\max} = \frac{1}{\sqrt{\beta}} = \frac{\hbar}{(\Delta x)_0} \rightarrow \infty$$

وابسته به یک بار نقطه‌ای q در نظریه استاندارد

ماکسول، یعنی $\vec{E}(\vec{x}) = \hat{e}_r \frac{q}{4\pi\epsilon_0 r^2}$ تبدیل

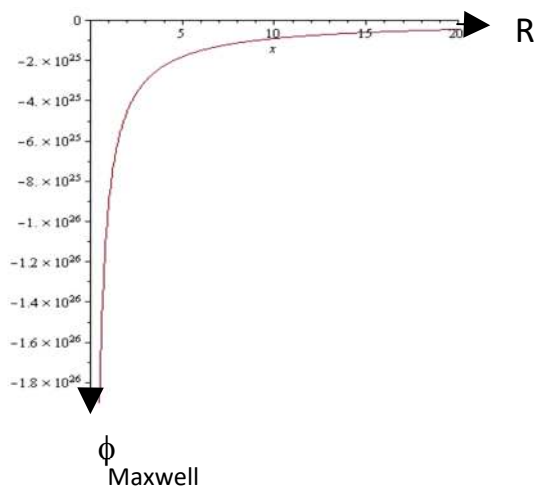
می‌شود. اینک به بررسی رفتار میدان الکتریکی وابسته به یک بار نقطه‌ای q در مکان قرار گرفتن بار

($|\vec{x}| = r \rightarrow 0$) در فضای فاز شش بعدی

(x^i, p^i) از منظر جبر هایزنبرگ تعمیم یافته

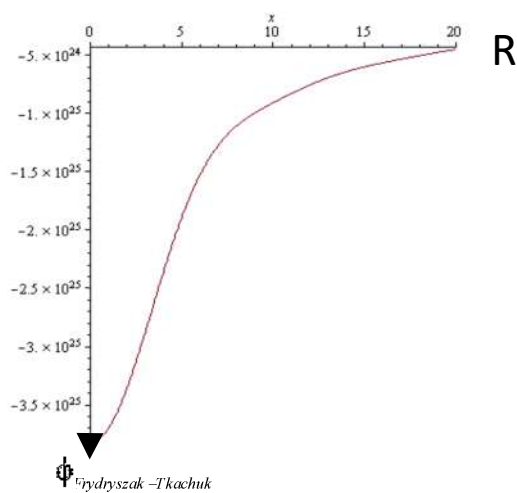
می‌پردازیم. برای این منظور لازم است تا از روابط ۴۸ و

۵۲ استفاده کنیم، خواهیم داشت:



شکل ۲. رفتار پتانسیل الکتروستاتیکی $\phi_{Maxwell} = \frac{Q}{R}$ بر حسب R برای الکترون.

شکل ۳ رفتار پتانسیل الکتروستاتیکی $\phi_{Frydryszak-Tkachuk}$ در رابطه ۵۸ را برای یک الکترون بر حسب طول بی‌بعد R نشان می‌دهد. همان‌طور که شکل ۳ نشان می‌دهد برای نقاط بسیار نزدیک به الکترون ($R \rightarrow 0$) مقدار پتانسیل الکتروستاتیکی ۵۸ برخلاف نظریهٔ ماکسول فاقد تکیگی است.



شکل ۳. رفتار پتانسیل الکتروستاتیکی $\phi_{Frydryszak-Tkachuk}$ در رابطه ۵۸ بر حسب R برای الکترون.

بر اساس محاسبات انجام گرفته در روابط ۴۶ و ۵۳ نتیجه می‌گیریم که در حد $(\Delta x)_0 \rightarrow 0$ نتایج حاصل از الکتروستاتیک ماکسول تعمیم یافته به نتایج حاصل

$$R := \frac{r}{(\Delta x)_0}, \quad ۵۶$$

روابط مربوط به پتانسیل الکتروستاتیکی وابسته به یک بار نقطه‌ای q در مبدا دستگاه مختصات دکارتی سه بعدی را برای الکتروستاتیک ماکسول و الکتروستاتیک ماکسول تعمیم یافته در رابطه ۴۴ به شکل زیر بازنویسی کنیم:

$$\phi_{Maxwell} = \frac{Q}{R}, \quad ۵۷$$

$$\phi_{Frydryszak-Tkachuk} = \frac{2}{\pi} \frac{Q}{R} \left[Si(R) + \frac{\cos R}{R} - \frac{\sin R}{R^2} \right]. \quad ۵۸$$

در مرجع [۱۸] تکاچوک پیش‌نهاد کرده است که مقدار عددی مقیاس طول مشخصه $(\Delta x)_0$ در رابطه ۱۴ برای الکترون ($q = -e = -1.602 \times 10^{-19} C$) برابر با طول پلانک باشد، یعنی

$$(\Delta x)_0 = \hbar \sqrt{\beta} = \ell_p \approx 1.6 \times 10^{-35} m. \quad ۵۹$$

در شکل ۲ رفتار پتانسیل الکتروستاتیکی $\phi_{Maxwell}$ در رابطه ۵۷ برای الکترون بر حسب طول بی‌بعد R نشان داده شده است. همان‌طور که شکل ۲ نشان می‌دهد با نزدیک شدن به الکترون ($R \rightarrow 0$) مقدار پتانسیل الکتروستاتیکی واگرا می‌گردد.

دگرگون شده می‌باشند همچنین $P^2 = \sum_{i=1}^3 (P^i)^2$ است. در مرجع [۲۵] نشان داده شده است که عمل‌گرهای مکان و تکانه تعمیم یافته X^i و P^i در روابط جبری ۶۰ تا ۶۲ دارای نمایش‌های مختصاتی مرتبه اولی برحسب پارامترهای دگرگونش β و β' به‌شکل زیر هستند:

$$X^i = x^i + \frac{2\beta - \beta'}{4} (p^2 x^i + x^i p^2) + O(\beta^2, \beta'^2, \beta\beta'),$$

۶۳

$$P^i = p^i \left(1 + \frac{\beta'}{2} p^2 \right) + O(\beta^2, \beta'^2, \beta\beta'),$$

۶۴

که x^i و p^i عمل‌گرهای مکان و تکانه در مکانیک کوانتومی معمولی بوده و

$$p^2 = \sum_{i=1}^3 (p^i)^2 = -\hbar^2 \nabla^2$$

است. به‌ازای $\beta' = 2\beta$ جبر معرفی شده در روابط ۶۰ تا ۶۲ به‌شکل زیر در می‌آید:

$$[X^i, X^j] = O(\beta^2), \quad [P^i, P^j] = 0,$$

$$[X^i, P^j] = i\hbar \left[\delta^{ij} (1 + \beta P^2) + 2\beta P^i P^j \right].$$

۶۵

در این حالت نمایش‌های ۶۳ و ۶۴ به‌صورت بسیار ساده‌تر در می‌آیند:

$$X^i = x^i + O(\beta^2), \quad P^i = p^i (1 + \beta p^2) + O(\beta^2).$$

۶۶

در مرجع [۱۲] با صرف‌نظر کردن از جملات از مرتبه بزرگی β^2 و بالاتر از آن نمایش مختصاتی مرتبه اولی برحسب پارامتر دگرگونش β برای عمل‌گرهای X^i و P^i به‌صورت زیر به‌دست آمده‌اند:

از الکتروستاتیک ماکسول برای پتانسیل الکتروستاتیکی و میدان الکتریکی بار نقطه‌ای تبدیل می‌شوند. همچنین در رژیم انرژی‌های پایین که متناظر با فواصل فضایی بزرگ می‌باشد معادله پواسون تعمیم یافته^۳ به‌شکل آشنای $\nabla^2 \phi(\vec{x}) = -\frac{\rho(\vec{x})}{\epsilon_0}$ در می‌آید که همان معادله پواسون در الکتروستاتیک ماکسول است.

پیوست الف. مقایسه میان کارهای انجام شده در این مقاله با کارهای صورت گرفته در مرجع [۱۲]

در این پیوست مقایسه‌ای بین کارهای انجام شده در این مقاله با کارهای انجام شده در مرجع [۱۲]، یعنی *EPL* **98** (2012) 50001 خواهیم داشت. در سال ۱۹۹۵ میلادی سه فیزیک‌دان به اسامی کمپف^۱، مانگانو^۲ و من^۳ موفق به ارائه یک تعمیم دو پارامتری از جبر هایزنبرگ در یک فضای دکارتی سه بعدی به‌شکل زیر گردیدند [۲۴]

$$[X^i, X^j] = i\hbar \frac{(2\beta - \beta') + \beta(2\beta + \beta')P^2}{1 + \beta P^2} (P^i X^j - P^j X^i),$$

۶۰

$$[P^i, P^j] = 0,$$

۶۱

$$[X^i, P^j] = i\hbar \left[\delta^{ij} (1 + \beta P^2) + \beta P^i P^j \right],$$

$$\forall i, j \in \{1, 2, 3\},$$

۶۲

که β و β' دو پارامتر ثابت نامنفی با دیمانسیون $[momentum]^{-2}$ بوده و X^i و P^i به‌ترتیب عمل‌گرهای مکان و تکانه در فضای فاز کوانتومی

³Mann¹Kempf²Mangano

(۲) بازفرمول‌بندی نظریه الکتروستاتیک ماکسول بر اساس نمایش‌های تقریبی مرتبه اول معرفی شده در مرجع [۱۲] به معادله پواسون مرتبه چهارم ۶۸ منجر می‌شود که معادله فوق به لحاظ ریاضی یک معادله دیفرانسیل با مشتقات جزئی خطی مرتبه چهارم ناهمگن است. از این رو عبارتهای به دست آمده برای پتانسیل و میدان الکتریکی بار نقطه‌ای در روابط ۶۹ و ۷۰ نیز روابطی تقریبی می‌باشند در حالی که معادله پواسون به دست آمده در این مقاله، یعنی معادله ۳۵ بر مبنای نمایش‌های دقیق مختصاتی ۹ و ۱۰ بوده و بنا بر این روابط مربوط به پتانسیل و میدان الکتریکی بار نقطه‌ای، یعنی روابط ۴۴ و ۵۲ روابطی غیر اختلالی^۱ و دقیق بوده و تا تمامی مرتبه‌ها برقرار می‌باشند. با توجه به مطالب گفته شده کارهای انجام گرفته در این مقاله را می‌توان گامی رو به جلو در جهت درک رفتار غیر اختلالی نظریه الکتروستاتیک ماکسول در حضور برش تکانه $p_{\max} = \frac{1}{\sqrt{\beta}}$ (رابطه ۱۳) به شمار آورد.

پیوست ب. بازفرمول‌بندی نظریه ماکسول در

حضور برش تکانه $p_{\max} = \frac{1}{\sqrt{\beta}}$ در

چارچوب هموردا و بررسی تقارن پیمانه‌ای

نظریه هموردای به دست آمده

به منظور ارائه یک فرمول‌بندی هموردا از نظریه

ماکسول در حضور برش تکانه $p_{\max} = \frac{1}{\sqrt{\beta}}$

(رابطه ۱۳) لازم است تا نخست یک تعمیم هموردا از جبر هایزنبرگ دگرگون شده معرفی شده توسط تکاچوک (روابط ۶ تا ۸) به صورت زیر ارائه گردد:

$$[X^\mu, X^\nu] = 0, \quad ۷۱$$

$$X^i = x^i, p^i = p^i (1 + \beta p^2).$$

۶۷

نویسندگان مقاله [۱۲] در ادامه با بازفرمول‌بندی نظریه الکتروستاتیک ماکسول بر اساس نمایش‌های تقریبی معرفی شده در رابطه ۶۷ به معادله پواسون مرتبه چهارم زیر رسیده‌اند:

$$(1 - a^2 \nabla^2) \nabla^2 \phi(\vec{x}) = -\frac{\rho(\vec{x})}{\epsilon_0} \quad (a = \hbar \sqrt{2\beta}) \quad ۶۸$$

و نشان داده‌اند که این معادله برای یک بار نقطه‌ای q واقع در مبدأ فضای دکارتی سه بعدی پتانسیل و میدان الکتریکی ایستایی به صورت زیر:

$$\phi(\vec{x}) = \frac{q}{4\pi\epsilon_0 r} \left(1 - e^{-\frac{r}{a}} \right), \quad ۶۹$$

$$\vec{E}(\vec{x}) = \hat{e}_r \frac{q}{4\pi\epsilon_0 r^2} \left[1 - \left(1 + \frac{r}{a} \right) e^{-\frac{r}{a}} \right] \quad ۷۰$$

را نتیجه می‌دهد.

اکنون آماده‌ایم تا به مقایسه اختلاف میان کارهای انجام گرفته در این مقاله با کارهای انجام شده در مرجع [۱۲] بپردازیم.

(۱) در مرجع [۱۲] بازفرمول‌بندی نظریه الکتروستاتیک ماکسول بر اساس نمایش‌های تقریبی معرفی شده در رابطه ۶۷ صورت گرفته است که این نمایش‌ها جبر کمپف (روابط ۶۰ تا ۶۲) را در حالت خاص $\beta' = 2\beta$ و صرفاً تا مرتبه اول برحسب پارامتر دگرگونش β برآورده می‌سازند در حالی که در این مقاله بازفرمول‌بندی نظریه الکتروستاتیک ماکسول بر اساس نمایش‌های مختصاتی ۹ و ۱۰ صورت گرفته که نمایش‌های مزبور جبر هایزنبرگ دگرگون شده معرفی شده توسط تکاچوک (روابط ۶ تا ۸) را به صورت دقیق تا تمامی مرتبه‌ها برآورده می‌سازند [۱۸].

¹ Non-perturbative

جابه‌جایی زیر را که به آنها جبر هموردای هایزنبرگ

$$[P^\mu, P^\nu] = 0, \quad ۷۲$$

گفته می‌شود برآورده می‌سازند:

$$[X^\mu, P^\nu] = -i\hbar\sqrt{1-\beta P^2}(\eta^{\mu\nu} - \beta P^\mu P^\nu),$$

$$\forall \mu, \nu \in \{0, 1, 2, 3\},$$

$$[x^\mu, x^\nu] = 0, \quad ۷۷$$

$$[p^\mu, p^\nu] = 0, \quad ۷۸$$

$$[x^\mu, p^\nu] = -i\hbar\eta^{\mu\nu}. \quad ۷۹$$

بنا به روابط ۷۵ و ۷۶ در هنگام بازفرمول‌بندی یک نظریه میدان از منظر جبر هموردای هایزنبرگ دگرگون شده ۷۱ تا ۷۳ در فضا-زمان مینکوفسکی چهار بعدی لازم است تا عمل‌گرهای مکان و مشتق استاندارد، یعنی (x^μ, ∂_μ) بر طبق دستورالعمل زیر با عمل‌گرهای مکان و مشتق تعمیم یافته (X^μ, D_μ) جایگزین شوند:

$$x^\mu \rightarrow X^\mu = x^\mu, \quad ۸۰$$

$$\partial_\mu \rightarrow D_\mu := \frac{1}{\sqrt{1-(\Delta x)_0^2}} \partial_\mu. \quad ۸۱$$

در رابطه ۸۱ $(\Delta x)_0 = \frac{\hbar}{P_{\max}}$ همان مقیاس طول

مشخصه تعریف شده در رابطه ۱۴ است. صورت تانسوری معادلات ناهمگن ماکسول در یک فضا-زمان مینکوفسکی چهاربعدی با متریک ۷۴ به شکل زیر است:

$$\partial_\mu F^{\mu\nu}(x) = \mu_0 J^\nu(x), \quad ۸۲$$

که $A^\mu = \left(\frac{1}{c}\phi, \vec{A}\right)$ چاربردار پتانسیل و

$J^\mu = (c\rho, \vec{J})$ چاربردار جریان می‌باشند و

$F_{\mu\nu} = \partial_\mu A_\nu - \partial_\nu A_\mu$ تانسور شدت میدان الکترومغناطیسی است که رابطه زیر موسوم به اتحاد

بیانکی^۱ را برآورده می‌سازد:

$$\partial_\mu F_{\nu\lambda}(x) + \partial_\nu F_{\lambda\mu}(x) + \partial_\lambda F_{\mu\nu}(x) = 0. \quad ۸۳$$

که X^μ و P^μ به ترتیب مؤلفه‌های عمل‌گر مکان و تکانه در فضا-زمان مینکوفسکی چهار بعدی با متریک:

$$\eta_{\mu\nu} = \begin{pmatrix} 1 & 0 & 0 & 0 \\ 0 & -1 & 0 & 0 \\ 0 & 0 & -1 & 0 \\ 0 & 0 & 0 & -1 \end{pmatrix} \quad ۷۴$$

بوده و $P = \sqrt{(P^0)^2 - \sum_{i=1}^3 (P^i)^2}$ است. در اینجا

نیز همانند روابط جبری ۶ تا ۸ β یک پارامتر ثابت نامنفی با دیمانسیون $[momentum]^{-2}$ می‌باشد. با اندکی محاسبه می‌توان نشان داد که عمل‌گرهای مکان X^μ و تکانه P^μ در جبر هموردای هایزنبرگ دگرگون شده، یعنی روابط جابه‌جایی ۷۱ تا ۷۳ دارای نمایش مختصاتی دقیقی به صورت زیر می‌باشند:

$$X^\mu = x^\mu, \quad ۷۵$$

$$P^\mu = \frac{1}{\sqrt{1+\beta p^2}} p^\mu, \quad \forall \mu \in \{0, 1, 2, 3\}. \quad ۷۶$$

در روابط ۷۵ و ۷۶

$$p^2 = -\hbar^2 \square = -\hbar^2 \left(\frac{1}{c^2} \frac{\partial^2}{\partial t^2} - \nabla^2 \right)$$

بوده و x^μ و p^μ عملگرهای مکان و تکانه معمولی

در فضا-زمان مینکوفسکی چهار بعدی هستند که روابط

¹Bianchi identity

$$\partial_\mu \rightarrow D_\mu$$

$$F^{\mu\nu}(x) \rightarrow f^{\mu\nu}(X)$$

$$J^\nu(x) \rightarrow j^\nu(X)$$

در معادله ۸۲ انجام شود، یعنی:

$$D_\mu f^{\mu\nu}(X) = \mu_0 j^\nu(X), \quad ۸۷$$

و یا

$$\frac{1}{1 - (\Delta x)_0^2} \partial_\mu F^{\mu\nu}(x) = \mu_0 J^\nu(x). \quad ۸۸$$

معادله ۸۸ همان صورت تانسوری معادلات ناهمگن

$$p_{\max} = \frac{\hbar}{(\Delta x)_0} \text{ تکانه}$$

می‌باشد. در حد $(\Delta x)_0 \rightarrow 0$ معادله ۸۸ به معادله ۸۲

تبدیل می‌شود. همان گونه که دیده می‌شود معادله ۸۸

تحت اثر تبدیلات پیمانه‌ای به صورت زیر:

$$A_\mu(x) \rightarrow A'_\mu(x) = A_\mu(x) + \partial_\mu \Lambda(x) \quad ۸۹$$

ناوردا است $\Lambda(x)$ تابعی هموار و مشتق‌پذیر از فضا-

زمان می‌باشد. بنا بر این نظریه ماکسول در حضور

$$p_{\max} = \frac{\hbar}{(\Delta x)_0} \text{ همانند نظریه ماکسول}$$

معمولی دارای تقارن پیمانه‌ای است. اگر از طرفین

$$\text{معادله ۸۸ } \partial_\nu = \frac{\partial}{\partial x^\nu} \text{ بگیریم مشاهده می‌کنیم که چار}$$

بردار جریان $J^\nu(x)$ در شکل هموردای معادله

پیوستگی بار و جریان، یعنی معادله زیر صدق می‌کند

$$\frac{1}{1 - (\Delta x)_0^2} \partial_\nu \text{ (توجه داشته باشید که } \partial_\nu \text{ و عبارت}$$

با یکدیگر جابه‌جا می‌گردند):

$$\partial_\nu J^\nu(x) = 0. \quad ۹۰$$

مؤلفه $\nu = 0$ معادله ۸۸ به صورت زیر است:

با توجه به رابطه ۸۰ هنگامی که از مختصات

$$\text{به مختصات } x^\mu = \{x^0, x^1, x^2, x^3\}$$

$$\text{می‌رویم تانسورهای } X^\mu = \{X^0, X^1, X^2, X^3\}$$

مرتبه اول هموردای $A_\mu(x)$ و $J_\mu(x)$ به صورت

زیر تبدیل پیدا می‌کنند:

$$A_\mu(x) \rightarrow a_\mu(X) = \sum_{\nu=0}^3 \frac{\partial x^\nu}{\partial X^\mu} A_\nu(x)$$

$$= \sum_{\nu=0}^3 \frac{\partial x^\nu}{\partial x^\mu} A_\nu(x) \quad ۸۴$$

$$= \sum_{\nu=0}^3 \delta_\mu^\nu A_\nu(x)$$

$$= A_\mu(x),$$

$$J_\mu(x) \rightarrow j_\mu(X) = \sum_{\nu=0}^3 \frac{\partial x^\nu}{\partial X^\mu} J_\nu(x)$$

$$= \sum_{\nu=0}^3 \frac{\partial x^\nu}{\partial x^\mu} J_\nu(x) \quad ۸۵$$

$$= \sum_{\nu=0}^3 \delta_\mu^\nu J_\nu(x)$$

$$= J_\mu(x).$$

با توجه به روابط ۸۱ و ۸۴ تانسور شدت میدان

الکترومغناطیسی $F_{\mu\nu}(x)$ در فضای دگرگون شده

به صورت زیر در می‌آید:

۸۶

$$F_{\mu\nu}(x) \rightarrow f_{\mu\nu}(X)$$

$$= D_\mu a_\nu(x) - D_\nu a_\mu(x)$$

$$= \frac{1}{\sqrt{1 - (\Delta x)_0^2}} \partial_\mu A_\nu(x) - \frac{1}{\sqrt{1 - (\Delta x)_0^2}} \partial_\nu A_\mu(x)$$

$$= \frac{1}{\sqrt{1 - (\Delta x)_0^2}} F_{\mu\nu}(x).$$

با توجه به آنچه گفته شد برای به دست آوردن شکل

تانسوری معادلات ناهمگن ماکسول در یک فضا-زمان

مینکوفسکی چهاربعدی در حضور برش تکانه

$$p_{\max} = \frac{1}{\sqrt{\beta}}$$

زیر:

waveguides, *European Physical Journal B* **36** (2003) 359-363.
<https://doi.org/10.1140/epjb/e2003-00354-5>

[3] A. Rostami, S.K. Moayedi, TM mode in inhomogeneous slab waveguide as an exactly solvable oscillator-like Hamiltonian, *Journal of Optics A: Pure and Applied Optics* **5** (2003) 380-385.
<https://doi.org/10.1088/1464-4258/5/4/313>

[4] S.M. Blinder, Singularity-free electrodynamics for point charges and dipoles: a classical model for electron self-energy and spin, *European Journal of Physics* **24** (2003) 271-275.
<https://doi.org/10.1088/0143-0807/24/3/307>

[5] R.B. Santos, Plasma-like vacuum in Podolsky regularized classical electrodynamics, *Modern Physics Letters A* **26** (2011) 1909-1915.
<https://doi.org/10.1142/S0217732311036395>

[6] M. Born, L. Infeld, Foundations of the new field theory, *Proceedings of the Royal Society of London A* **144** (1934) 425-451.
<https://doi.org/10.1098/rspa.1934.0059>

[7] S.K. Moayedi, M. Shafabakhsh, F. Fathi, Analytical calculation of stored electrostatic energy per unit length for an infinite charged line and an infinitely long cylinder in the framework of Born-Infeld electrostatics, *Advances in High Energy Physics* **2015** (2015) 180185.
<https://doi.org/10.1155/2015/180185>

[8] F. Bopp, Eine lineare Theorie des Elektrons, *Annalen der Physik* **430** (1940) 345-384.
<https://doi.org/10.1002/andp.19404300504>

[9] B. Podolsky, A generalized electrodynamics part I-non-quantum,

$$\left(F^{10} = \frac{E_x}{c}, F^{20} = \frac{E_y}{c}, F^{30} = \frac{E_z}{c} \right)$$

$$\frac{1}{1 - (\Delta x)_0^2} \nabla \cdot \vec{E}(\vec{x}, t) = \frac{\rho(\vec{x}, t)}{\epsilon_0}$$

۹۱

برای یک پیکربندی ایستا از بارهای الکتریکی معادله ۹۱ به صورت زیر در می‌آید:

$$\frac{1}{1 + (\Delta x)_0^2} \nabla \cdot \vec{E}(\vec{x}) = \frac{\rho(\vec{x})}{\epsilon_0}$$

۹۲

معادله ۹۲ شکل دیفرانسیلی قانون گاوس در الکتروستاتیک ماکسول در حضور برش تکانه $p_{\max} = \frac{\hbar}{(\Delta x)_0}$ می‌باشد. اگر میدان الکتریکی ایستای

$\vec{E}(\vec{x}) = -\nabla\phi(\vec{x})$ را از رابطه ۵۱، یعنی $\vec{E}(\vec{x}) = -\nabla\phi(\vec{x})$ در رابطه ۹۲ قرار دهیم مجدداً به معادله ۳۵، یعنی معادله پواسون با مشتق از مرتبه بی‌نهایت

$$\frac{\nabla^2}{1 + (\Delta x)_0^2} \phi(\vec{x}) = -\frac{\rho(\vec{x})}{\epsilon_0}$$

[۱۲] بر اساس ملاحظات مربوط به الکتروستاتیک کلاسیک برای مقیاس طول مشخصه $(\Delta x)_0$ کران عددی بالایی برابر:

$$(\Delta x)_0 \sim 10^{-10} m$$

۹۳

تخمین زده شده است. با فرض صحت وجود چنین کران بالایی برای $(\Delta x)_0$ می‌توان امید داشت که امکان مشاهده نتایج تجربی بعضی از محاسبات انجام گرفته در این مقاله در مقیاس‌های طولی از مرتبه $10^{-10} m$ (مقیاس طولی در فیزیک اتمی) وجود داشته باشد.

مرجع‌ها

[1] A. Rostami, S.K. Moayedi, Exact solution for light propagation through inhomogeneous media, *Indian Journal of Physics* **75 B 4** (2001) 357-361.

[2] S.K. Moayedi, A. Rostami, PT-invariant Helmholtz optics and its applications to slab

- [16] M. Ranaiy, S.K. Moayedi, The short-distance behavior of an Abelian Proca model based on a one-parameter extension of the covariant Heisenberg algebra, *Modern Physics Letters A* **35** (2020) 2050038. <https://dx.doi.org/10.1142/S0217732320500388>
- [17] A.M. Frydryszak, V.M. Tkachuk, Aspects of pre-quantum description of deformed theories, *Czechoslovak Journal of Physics* **53** (2003) 1035-1040. <https://doi.org/10.1023/B:CJOP.0000010529.32268.03>
- [18] V.M. Tkachuk, Galilean and Lorentz transformations in a space with generalized uncertainty principle, *Foundations of Physics* **46** (2016) 1666–1679. <https://doi.org/10.1007/s10701-016-0036-5>
- [19] W.S. Chung, H. Hassanabadi, New generalized uncertainty principle from the doubly special relativity, *Physics Letters B* **785** (2018) 127-131. <https://doi.org/10.1016/j.physletb.2018.07.064>
- [20] K. Nozari, M.A. Gorji, V. Hosseinzadeh, B. Vakili, Natural cutoffs via compact symplectic manifolds, *Classical and Quantum Gravity* **33** (2015) 025009. <https://dx.doi.org/10.1088/0264-9381/33/2/025009>
- [21] K. Nozari, A. Etemadi, Minimal length, maximal momentum, and Hilbert space representation of quantum mechanics, *Physical Review D* **85** (2012) 104029. <https://dx.doi.org/10.1103/PhysRevD.85.104029>
- [22] N. Moeller, B. Zwiebach, Dynamics with infinitely many time derivatives and rolling tachyons, *JHEP* **10** (2002) 034. <https://doi.org/10.1088/1126-6708/2002/10/034>
- Physical Review* **62** (1942) 68-71. <https://doi.org/10.1103/PhysRev.62.68>
- [10] A. Pais, G.E. Uhlenbeck, On field theories with non-localized action, *Physical Review* **79** (1950) 145-165. <https://doi.org/10.1103/PhysRev.79.145>
- [11] H.S. Snyder, Quantized space-time, *Physical Review* **71** (1947) 38-41. <https://doi.org/10.1103/PhysRev.71.38>
- [12] S.K. Moayedi, M.R. Setare, H. Moayeri, Formulation of an electrostatic field with a charge density in the presence of a minimal length based on the Kempf algebra, *EPL* **98** (2012) 50001. <https://doi.org/10.1209/0295-5075/98/50001>
- [13] S.K. Moayedi, M.R. Setare, B. Khosropour, Formulation of electrodynamics with an external source in the presence of a minimal measurable length, *Advances in High Energy Physics* **2013** (2013) 657870. <https://dx.doi.org/10.1155/2013/657870>
- [14] A.V. Silva, E.M.C. Abreu, M.J. Neves, Quantum electrodynamics and the electron self-energy in a deformed space with a minimal length scale, *International Journal of Modern Physics A* **31** (2016) 1650096. <https://dx.doi.org/10.1142/S0217751X16500962>
- [15] A. Izadi, S.K. Moayedi, Lagrangian formulation of an infinite derivative real scalar field theory in the framework of the covariant Kempf–Mangano algebra in a (D+1)-dimensional Minkowski space–time, *Annals of physics* **411** (2019) 167956. <https://doi.org/10.1016/j.aop.2019.167956>

D 52 (1995) 1108-1118.
<https://doi.org/10.1103/PhysRevD.52.1108>

<https://doi.org/10.1088/1126-6708/2002/10/034>

[25] M.M. Stetsko, V.M. Tkachuk, Scattering problem in deformed space with minimal length, *Physical Review A* 76 (2007) 012707.
<https://dx.doi.org/10.1103/PhysRevA.76.012707>

[23] M.R. Spiegel, S. Lipschutz, J. Liu, *Schaum's Outline of Mathematical Handbook of Formulas and Tables, Fifth Edition*, McGraw-Hill, (2018).

[24] A. Kempf, G. Mangano, R.B. Mann, Hilbert space representation of the minimal length uncertainty relation, *Physical Review*